

Escoamentos Limitados por Paredes & as Múltiplas Escalas

- Em escoamentos com paredes sólidas a viscosidade impõe na parede a condição de não-deslizamento: a vel. do fluido na parede deve ser igual a vel. da parede!
- Espera-se portanto que próximo da parede o escoamento seja dominado pela viscosidade e um comprimento característico seja a razão entre a visc. cinemática e flutuação vel. : ν/u
- Para altos Re , a espessura da camada limite, d , é muito maior que a escala ν/u , consequentemente o problema apresenta duas escalas.

Escoamentos Limitados por Paredes & as Múltiplas Escalas

- O comportamento destes perfis é completamente distinto de perfis laminares
- Todavia eles possuem uma característica em comum: uma mudança de concavidade em $y/d @ 0.2$
- Prandtl e Von Kármán deduziram que há duas escalas que governam o escoamento e definiram três camadas:

Escoamentos Limitados por Paredes & as Multiplas Escalas

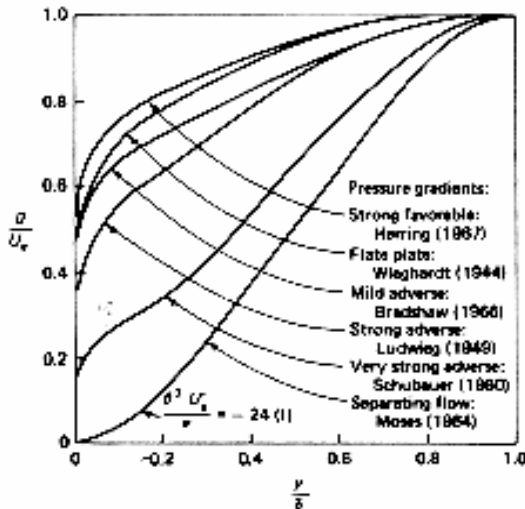


FIGURE 6-8
Experimental turbulent-bound layer velocity profiles for various pressure gradients. [Data from Cotes and Himm (1968).]

As Camadas & Suas Escalas

- As três camadas surgem devido as possíveis combinações dos dois comprimentos característicos independentes: aquele controlado pela viscosidade molecular ν/u e aquele pelas dimensões dos turbilhões y/d

Camada Interna (Inner Layer):

aquela onde as deformações devido a viscosidade molecular dominam. O comprimento viscoso: ν/u é muito maior que a distância y da parede, $y\nu/u \ll 1$, além disto, a espessura da C.L. δ , é muito maior que y ; $y/d \ll 1$.

Camada Externa (Outer Layer):

aquela onde as deformações devido aos turbilhões dominam. O comprimento viscoso ν/u é muito menor que a distância y da parede, $y\nu/u \gg 1$, além disto, a espessura da C.L. δ , é da ordem da distância ; $y/d \approx 1$.

Camada Intermediária (Overlap Layer or Inertial Sublayer):

onde ambos efeitos co-existem. Nesta região, $y\nu/u \gg 1$ porém $y/d \ll 1$.

As Camadas & Suas Escalas

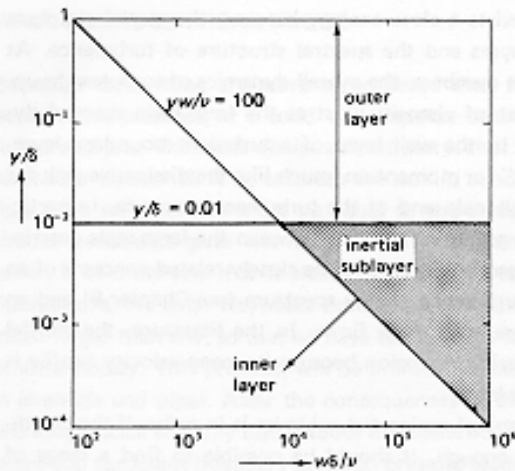


Figure 5.1. An inertial sublayer can exist only if the Reynolds number is large enough. For illustrative purposes, $yw/\nu \gg 1$ and $y/\delta \ll 1$ have been interpreted as $yw/\nu > 100$, $y/\delta < 0.01$. For many practical applications, the limits do not need to be as strict as this.

Camadas Interna e Externa: um ajuste baseado em análise dimensional

- As análises que sucedem são válidas para o limite assintótico: isto é, somente para escoamentos com Re elevados!

$$Re = \frac{\delta \cdot v^*}{\nu} \rightarrow \infty$$

- **INNER LAYER** : o perfil de velocidades depende da tensão na parede, das propriedades do fluido (ρ e μ) e da distância y da parede mas não dos parâmetros da corrente livre, isto é, do gradiente de pressão.

$$\bar{U} = f(t_w, r, m, y) \quad \textcircled{R} \quad \frac{\bar{U}}{v^*} = f\left(\underbrace{y v^* / \nu}_{y^+}\right); \quad v^* = \sqrt{t_w / r} \quad \text{vel. atrito}$$

- **OUTER LAYER** : a presença da parede causa uma redução na velocidade local em relação a velocidade externa, U_e , independentemente de μ mas dependente da tensão na parede, da espessura da camada limite δ e do gradiente de pressão externo a camada limite:

$$\underbrace{U_e - \bar{U}}_{\text{deficit de velocidade}} = g \frac{x}{\delta} t_w, r, d, y, \frac{dP_e}{dx} \quad \textcircled{R} \quad \frac{U_e - \bar{U}}{v^*} = g \frac{x}{\delta} \frac{y}{d}, X \frac{\delta}{\theta}; \quad x = \frac{d}{t_w} \times \frac{dP_e}{dx}$$

A Camada Intermediária - Overlap Layer

- **OVERLAP LAYER:** é uma região onde as funções da 'inner layer' e 'outer layer' se mergem. Isto é obtido fazendo-se o casamento do limite da expansão interna quando y^+ infinito com o limite da expansão externa quando y/d vai $p/$ zero

$$\bar{U}_{inner} = \bar{U}_{outer} \quad \textcircled{R} \quad \frac{\bar{U}}{v^*} = \underbrace{f\left(\frac{y}{d}\right)}_{inner} = \underbrace{\frac{U_e}{v^*} - g\left(\frac{y}{d}\right)}_{outer}$$

- A igualdade é verdadeira somente $p/$ funções log; (o produto e a soma de dois parâmetros são iguais para funções log)
- Expressas em termos das var. internas ou externas:

• **var. internas:** $k=0.41$ e $B=5.0$ são const. universais

• **var. externas:** A depende do grad. pressão, (x)

$$\frac{\bar{U}}{v^*} = \frac{1}{\kappa} \ln\left(\frac{y v^*}{\delta}\right) + B$$

$$\frac{U_e - \bar{U}}{v^*} = -\frac{1}{\kappa} \ln\left(\frac{y}{\delta}\right) + A(\xi)$$

Argumento de Milikan (1939) – (veja Panton $p/$ detalhes)

- Para que haja um encontro (casamento) entre as camadas é necessário que as funções f e g sejam coincidentes em alguma região!
- A igualdade pode ser posta em termos do gradiente de velocidades:

$$\frac{y}{v^*} \frac{\partial \bar{U}}{\partial y} = \underbrace{y^+ f'(y^+)}_{inner} = \underbrace{-\eta g'(\eta)}_{outer} = \text{constante}$$

- As duas representações podem se suportarem se as funções f' e g' forem constantes em alguma região.
- A igualdade é verdadeira somente $p/$ funções log;

A Camada Intermediária - Overlap Layer

- Millikan mostrou que o gradiente da velocidade na camada intermediária é expresso por:

$$\frac{d\bar{U}}{dy} = \frac{v^*}{ky}$$

- onde k é a constante de von Kàrmàn, $k = 0.41$. Após a integração encontra-se que

A Camada Intermediária - Overlap Layer

- **var. internas:** $k=0.41$ e $B=5.0$ são const. universais

$$\frac{\bar{U}}{v^*} = \frac{1}{\kappa} \ln \left(\frac{yv^*}{v} \right) + B$$

- **var. externas:** A depende do grad. pressão, (x)

$$\frac{U_e - \bar{U}}{v^*} = -\frac{1}{\kappa} \ln \left(\frac{y}{\delta} \right) + A(\xi)$$

A Camada Intermediária - Overlap Layer

- A camada intermediária também é conhecida por ‘inertial sublayer’. Esta denominação deve-se ao fato que na camada intermediária (região log) as tensões turbulentas são muitas vezes superiores aquelas de origem viscosa, daí o nome de sub-camada inercial.
- Uma das características importantes é que nela a tensão de cisalhamento, τ , é aproximadamente constante!
- É considerada um dos grandes sucessos da análise em escoamentos turbulentos pelo caráter universal que esta lei apresenta.

LEIS DE PAREDE

Detalhes da Lei de parede- Inner Law

•A lei interna ‘inner law’ sai da condição de não-deslizamento na parede para encontrar o ‘overlap’ ou lei log em aproximadamente $y^+ @ 30$.

•Muito próximo da parede a turbulência é amortecida e a camada limite é dominada pelas forças viscosas.

- Sub-Camada Laminar - Tensão constante:**
- ocorre em distâncias muito próximas da parede, $y^+ < 5$

$$\tau_w = \frac{\mu U}{y} \rightarrow U^+ = y^+$$

Detalhes da Lei de parede - Inner Law

• Sua espessura é estimada em: $d=5(n/v^*)$. Numa placa plana em ar com $v^*=1.24$ m/s, a subcamada é 0.06 mm enquanto que a camada limite é de 3 cm.

•**Buffer Layer-** o perfil não é linear nem turbulento, $5 < y^+ < 30$
 Spalding (1961) propôs a eq. abaixo válida da parede até $y^+ @ 100$
 Nesta região a tensão de origem viscosa e turbulenta são de mesma ordem de grandeza.

$$y^+ = U^+ + e^{-kB} \frac{\hat{e}}{\hat{e}} e^{kU^+} - 1 - kU^+ - \frac{(kU^+)^2}{2} - \frac{(kU^+)^3}{6} \frac{\hat{u}}{\hat{u}}$$

Inner + Buffer + Overlap Layers

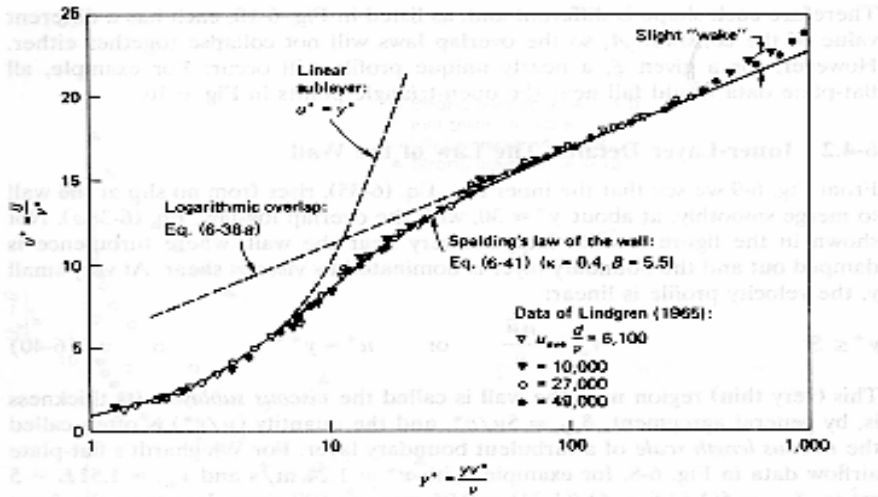
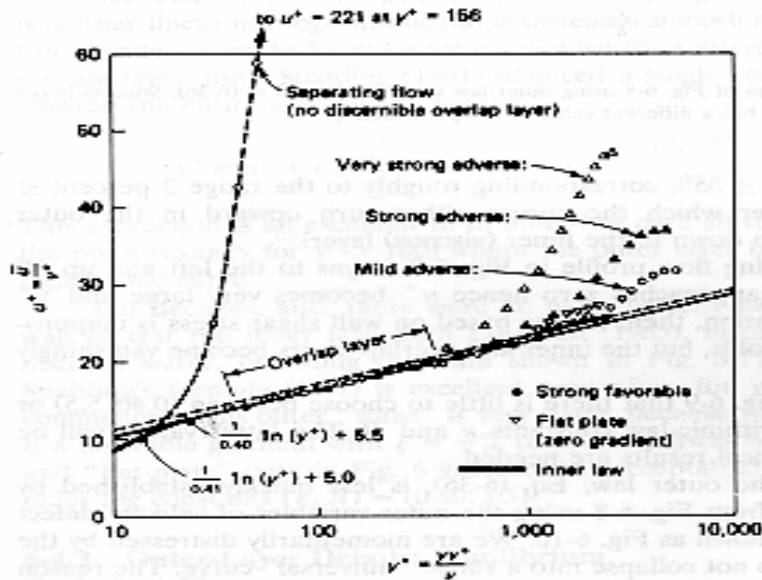


FIGURE 6-11 Comparison of Spalding's inner-law expression with the pipe-flow data of Lindgren (1965).

Overlap ou Região Log: Perfis Velocidades

- **OVERLAP LAYER** : o perfil de velocidades em termos das variáveis internas: $y^+ = yv^*/\nu$; $u^+ = U/v^*$.
- A região de 'overlap' corresponde a $35 < y^+ < 130 - 350$, isto equivale aproximadamente a $2\% < y/d < 20\%$,
- Acima desta faixa está na 'outer layer' e abaixo a 'inner layer'
- Destaca-se o fato que para escoamentos próximos da separação, a 'log-layer' quase que não existe porque t_w tende a zero, conseqüentemente o perfil cresce uma vez que v^* zera.

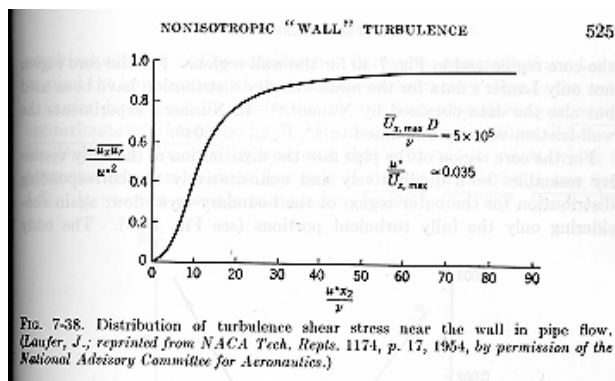
Overlap: Perfis Velocidades



Overlap: Perfis Velocidades

• Para valores de $y^+ > 70$, as tensões são praticamente de origem turbulenta, a viscosidade do fluido influi pouco. Por isto esta camada também é conhecida por sub-camada inercial.

• Nela, a tensão turbulenta é ‘aproximadamente’ constante, isto é: $t @ t_w$ porém deve-se exclusivamente a parcela das tensões de origem turbulenta.



Camada Externa: Perfis de Velocidade

- **OUTER LAYER:** o perfil de velocidades em termos das variáveis externas: y/d ; $U_e - U/v^*$

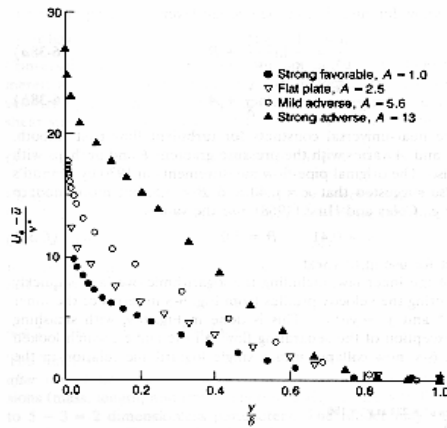


FIGURE 6-10 Replot of the velocity profiles of Fig. 6-8 using outer-law variables from Eq. (6-36). Success is not evident because each profile has a different value of the parameter ξ .

- Os perfis de vel. não colapsam sobre uma única curva pq. para perfil há um diferente gradiente de pressão externo, (x) :
- $x = -4.8$ favorável; $x = 0$ placa plana; $x = +6.3$ levemente adverso; $x = +29$ fortemente adverso;

A Constante “A” da Lei Externa - Outer Law

- Para Re elevados, as características turbulentas do escoamento na camada externa ‘outer layer’ são independentes da viscosidade.
- Não é possível tornar a lei externa universal: constante depende do gradiente de pressão externo.
- Coles observou que o excesso de velocidade da ‘outer layer’ sobre a região logarítmica (overlap) apresentava uma forma de S também conhecida por esteira (wakelike).

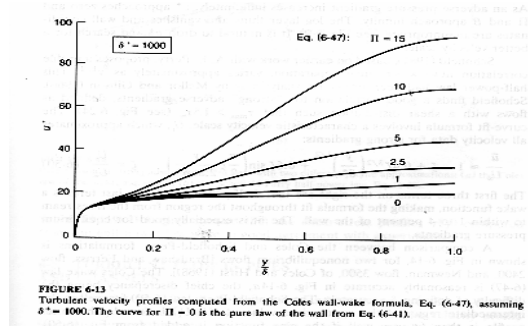
A Constante "A" da Lei Externa- Outer Law

- Coles propôs uma função para o excesso de velocidade que deve ser adicionado a lei logarítmica para representar a região de 'overlap e outer layer':

$$U^+ @ \underbrace{\frac{1}{k} \ln(y^+)}_{\text{Overlap}} + B + \frac{2P}{k} f \left(\frac{y^+}{\delta^+} \right); \quad f \left(\frac{y^+}{\delta^+} \right) @ \sin^2 \left(\frac{2P}{\delta^+} \frac{y^+}{\delta^+} \right)$$

$$\gg 3 \left(\frac{y^+}{\delta^+} \right)^2 - 2 \left(\frac{y^+}{\delta^+} \right)^3$$

- onde P é o parâmetro de Coles e está diretamente relacionado com a constante 'externa' A; $P=kA/2$



Comentários sobre as Leis

- Há considerável desvio desta lei para escoamentos próximo de pontos críticos (separação).
- As leis fornecem perfis de velocidade adimensionais em função das incógnitas: tensão na parede e parâmetro de Coles.
- Estes perfis em conjunto com equações auxiliares (conservação massa, eq. integrais ou diferenciais) constituem os modelos mais simples de escoamento turbulento.

Sumário das Leis

Região Interna

$$U^+ = y^+$$

interpolação Spalding:
subcamada laminar & buffer

$$y^+ = U^+ + e^{-k B} \left[\frac{e^{k U^+} - 1 - k U^+}{2} - \frac{(k U^+)^3}{6} \right] \frac{\bar{u}}{\bar{u}'} \frac{\bar{u}'}{\bar{u}}$$

Região Logaritmica ou SubCamada Inercial

$$U^+ = \frac{1}{\kappa} \ln y^+ + B$$

$$k = 0.41 \text{ e } B = 5.0 \text{ (Coles 1951)}$$

$$k = 0.40 \text{ e } B = 5.5 \text{ (Nikuradse 1930)}$$

Região Externa

perfis de Coles,
 $\Pi \approx 0.45$ placa plana
 $\Pi \approx 0$ tubo

$$\frac{U}{v_*'} = - \frac{1}{\kappa} \ln \frac{y}{d} + A$$

$$U^+ \approx \frac{1}{\kappa} \ln(y^+) + B + \frac{2P}{k} f \left(\frac{y}{d} \right);$$

Overlap

Visualização das Estruturas Turbulentas

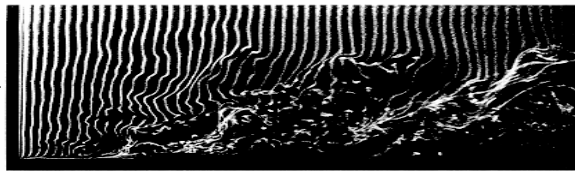
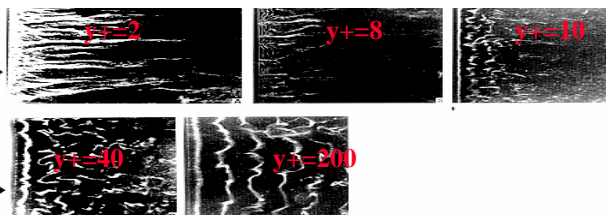
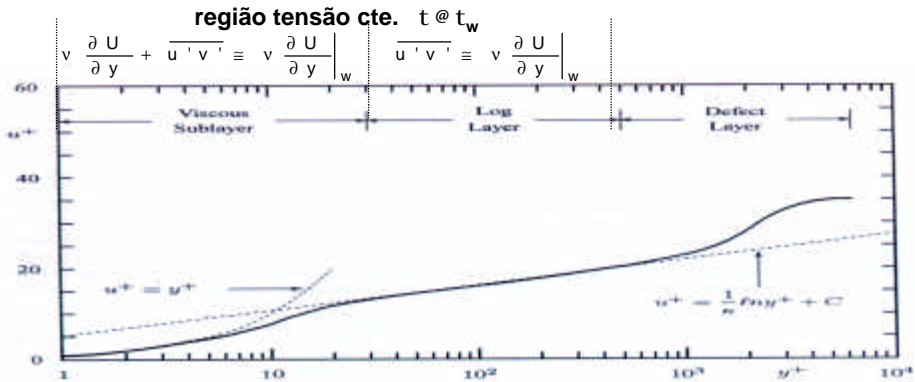


Fig. 34. Turbulent boundary layer along a flat plate (water, free stream velocity 20.4 cm/s, $Re_x = 990$, hydrogen bubble method).

- Estrutura da camada limite turbulenta (água, vel. livre 20.4 cm/s, $Re_q=990$. A seqüência de foto exhibe a estrutura para a sub-camada viscosa ($y^+=2$), buffer layer ($y^+=8$) e sub-camada inercial ($y^+=40$ e 200).
- Na camada viscosa destacam-se, periodicamente, filetes na direção principal do escoamento. No buffer há intensa produção de turbulência e a estrutura de filetes começa a desaparecer. Na região 'log' ela já desapareceu completamente.



Comentários sobre as Leis (II)

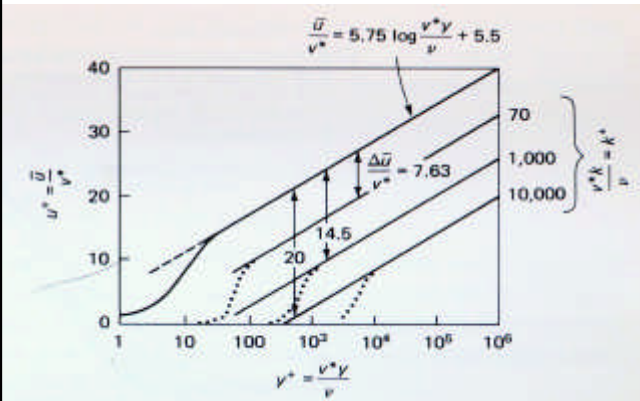


- A camada logarítmica (lei log) é a região da camada limite suficientemente próxima da superfície tal que os termos inerciais podem ser desprezados e ainda distante o suficiente para que a tensão viscosa possa ser muito menor que a tensão turbulenta. A tensão é constante.
- Muito próximo da parede, $y^+ < 5$, a tensão viscosa domina, a tensão é constante e a velocidade $U = t_w y / \mu$.

Comentários sobre as Leis (III)

- Grandezas como espessura da camada limite, d , ou diâ. duto D , a velocidade externa U_e ou outra escala média de velocidade não influenciam a camada log e a região interna .
- Além do mais, o gradiente de pressão na parede e mesmo a história do escoamento a montante são também desprezados.
- Este comportamento geral foi confirmado por inúmeros experimentos e estas leis se constituem um dos alicerces da turbulência.
- Cabe observar que este comportamento é notável pois o único efeito do escoamento externo (defect layer, 80% da camada limite) é determinar t_w !
- Entretanto, pode-se esperar desvios de seu comportamento para escoamentos ‘mal comportados’, por exemplo próximos a pontos de separação.
- Nestas regiões, a sub-camada viscosa se estende consideravelmente no escoamento e o gradiente de pressão na direção do escoamento não pode ser desprezado.

Lei de Parede para Superfície Rugosa (I)



• A rugosidade influencia muito pouco esc. Laminar mas fortemente esc. Turbulentos.

• A rugosidade da superfície pode romper com a sub-camada viscosa e aumentar substancialmente o atrito.

k denota a altura da rugosidade

A região logarítmica ainda existe mas a medida que k^+ cresce o coef. linear da reta desloca-se para baixo.

Lei de Parede para Superfície Rugosa (II)

• A lei log passa a ser escrita: $u^+ = \frac{1}{\kappa} \ln(y^+) + C(k^+)$

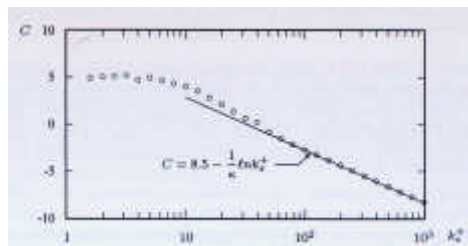
• A variação de C com k^+ não é única (depende do tipo de rugosidade: areia uniforme, rebites, esferas, telas, etc) mas ela não é significativa.

• Três 'regimes rugosos' podem ser definidos:

$k^+ < 4$ parede lisa $\rightarrow C = 5.5$

$4 < k^+ < 60$ transição lisa-rugoso

$k^+ > 60$ completamente rugoso $\rightarrow C = 8.5 - (1/\kappa) \ln k^+$



Lei de Parede para Superfície Rugosa (III)

- Os três regimes de rugosidade podem ser representados por uma única relação.
- Para o regime completamente rugoso:

$$C = 5.5 + \left[3.0 - \frac{1}{\kappa} \ln(k^+) \right] \cong 5.5 - \frac{1}{\kappa} \ln(0.3 \cdot k^+)$$

- Uma boa aproximação para a região de transição é a inserção da unidade no argumento do logaritmo. Assim para $k^+ = 0$ ela coincide com parede lisa e para $k^+ \gg 1$ ela coincide com o regime rugoso

$$C \cong 5.5 - \frac{1}{\kappa} \ln(1 + 0.3 \cdot k^+)$$

- Em particular para o regime rugoso, $k^+ > 60$ a viscosidade não é mais importante e o perfil de velocidades em termos das variáveis internas:

$$u^+ = \frac{1}{\kappa} \ln\left(\frac{y^+}{k^+}\right) + 8.5$$

Diagrama de Moody e o fator de Atrito f

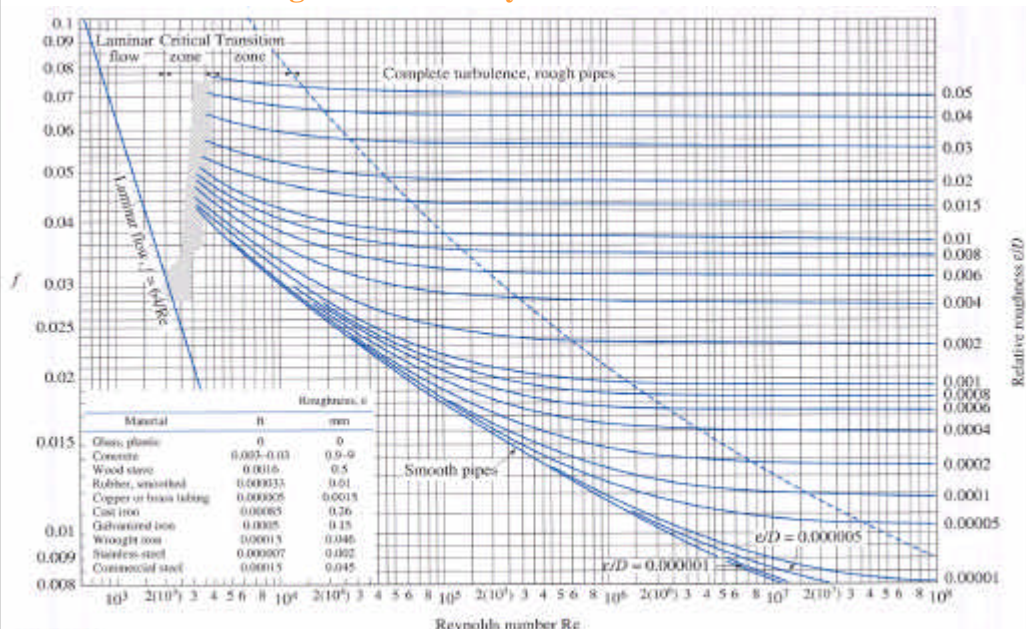
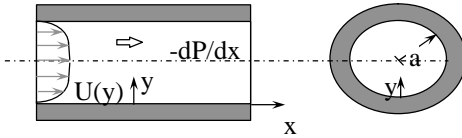


FIGURE A-27 The Moody chart for the friction factor for fully developed flow in circular tubes.

Exemplo: Escoamento em Dutos Circulares de Paredes Lisas



- De posse do perfil de velocidades pode-se calcular a velocidade média:

$$\bar{U} = \frac{Q}{A} = \frac{1}{\pi a^2} \int_0^a U(r) 2\pi r \times dr = \frac{1}{a^2} \int_0^a U(y) 2(a-y) \times dy; \quad y = a - r$$

- É conhecido que escoamentos turbulentos em tubos apresentam pouco efeito de esteira; $P \ll 0$. Portanto pode-se aplicar as correlações obtidas para os perfis de velocidades das camadas internas e intermediárias.

- Considerando que na camada interna penetra muito pouco no duto, a vazão associada a ela é desprezível face a vazão total. Portanto para se determinar a vazão irá utilizar-se da lei logaritmica.

$$U^+ = \frac{1}{k} \text{Ln}(y^+) + B$$

Exemplo: Escoamento em Dutos Circulares de Paredes Lisas

- Re-escrevendo a velocidade média em termos das variáveis internas tem-se:

$$\frac{\bar{U}}{v^*} = \frac{2}{a^+} \int_{30}^{a^+} U^+(y^+) \cdot (a^+ - y^+) \cdot dy^+; \quad v^* = \sqrt{\frac{\tau_w}{\rho}}; \quad y^+ = \frac{y v^*}{\nu}$$

- onde o limite de integração inferior deveria ser da parede, $y^+ = 0$ (sub-camada laminar), mas nesta região a lei-log não se aplica, daí inicia-se em $y^+ = 30$.

- sabendo-se que:

$$\int \text{Ln}(x) \times dx = x \times \text{Ln}(x) - x; \quad \text{e} \quad \int x \times \text{Ln}(x) \times dx = \frac{x^2}{2} \times \frac{x}{e} \text{Ln}(x) - \frac{1}{2} \frac{x^2}{e}$$

Exemplo: Escoamento em Dutos Circulares de Paredes Lisas- cont.

• A velocidade média fica:
$$\frac{\bar{U}}{v^*} = \frac{1}{k} \text{Ln}(a^+) + B - \frac{3}{2k}$$

Utilizando as definições:

$$C_f = \frac{2 \cdot \tau_w}{\rho \cdot \bar{U}^2} \quad \frac{\bar{U}}{v^*} = \frac{a}{\xi} \frac{2}{C_f} \frac{\bar{U}}{\theta}^{1/2} \quad \text{Re}_D = \frac{2 \cdot a \cdot \bar{U}}{v} \quad \frac{av^*}{n} = \text{Re}_D \frac{a}{\xi} \frac{C_f}{8} \frac{\bar{U}}{\theta}^{1/2}$$

Obtêm-se uma relação de fatores de atrito e Reynolds:

$$\frac{a}{\xi} \frac{2}{C_f} \frac{\bar{U}}{\theta}^{1/2} = \frac{1}{k} \text{Ln} \left[\frac{a}{\xi} \text{Re}_D \frac{a}{\xi} \frac{C_f}{8} \frac{\bar{U}}{\theta}^{1/2} \right] + B - \frac{3}{2k}$$

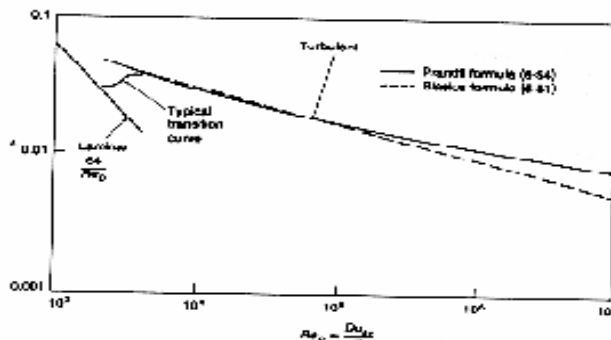
• Definindo o fator de Darcy: $L=4C_f$ e introduzindo log na base 10 chega-se a relação para o fator de atrito Prandtl (1935)

$$\frac{1}{\sqrt{\Lambda}} = 1.99 \text{Log} \left[\text{Re}_D \cdot \Lambda^{1/2} \right] - 1.02$$

Exemplo: Escoamento em Dutos Circulares de Paredes Lisas - cont.

- Como na dedução da relação Prandtl desprezou a sub-camada inercial e efeitos de esteira, ele próprio ajustou as constantes: 1.99 e 1.02 para melhor se ajustarem aos dados experimentais, especialmente para baixos Re_D . A relação final fica:

$$\frac{1}{\sqrt{\Lambda}} = 2.0 \text{Log} \left[\text{Re}_D \cdot \Lambda^{1/2} \right] - 0.8$$



Análise Integral para Placa Plana

• O escoamento sobre uma placa plana em alto Re foi extensivamente estudado. Nesta abordagem, utiliza-se o método integral e o perfil de velocidades com o ajuste de Coles:

• Método Integral:
$$C_f = 2 \times \frac{d}{x} \frac{q}{v^*}$$

• Perfil de velocidades, P@0.45 - overlap + outer layers (Coles)

$$\frac{U(y)}{v^*} = \frac{1}{k} \ln(y^+) + B + \frac{2P}{k} \left[3 \frac{y^+}{d} - 2 \frac{y^+}{d} \right]$$

Análise Integral para Placa Plana

para $y=d$, obtêm-se uma relação entre C_f e a velocidade externa, U_e :

$$\frac{U_e}{v^*} = \frac{1}{k} \ln(d^+) + B + \frac{2P}{k} \left[3 \frac{d}{d} - 2 \frac{d}{d} \right] = 2.44 \times \ln \left(\text{Re}_d \frac{C_f}{2} \right)^{1/2} + 7.2$$

• A relação acima é algebricamente difícil de tratar uma vez que C_f é dado implicitamente. Para $0.001 < C_f < 0.005$, a relação acima pode ser aproximada pelo ajuste de potência:

$$C_f = 0.020 \times \text{Re}_d^{-1/6}; \quad \text{onde} \quad \text{Re}_d = d v^* / \nu$$

• A expressão acima cuida do lado direito da equação integral. Resta agora determinar a espessura de momento e sua derivada com o auxílio do perfil de velocidades.

$$\frac{d}{dx} = \frac{1}{U_e} \frac{d}{dy} \left[U_e \left(1 - \frac{U}{U_e} \right) \right] \times d h; \quad h = \frac{y}{d}$$

Análise Integral para Placa Plana- cont

- O perfil de velocidades expresso pela velocidade U_e :

$$\frac{u}{U_e} = \frac{\frac{1}{k} \ln(hd^+) + B + \frac{2P}{k} (3h^2 - 2h)}{\frac{1}{k} \ln d^+ + B + \frac{2P}{k} \frac{u}{U_e}}; \quad d^+ = \text{Re}_d \frac{C_f}{2} \frac{\delta}{\nu}^{1/2}$$

- A integração deste perfil de velocidades para resultar na espessura de momento é trabalhosa. As dificuldades algébricas são eliminadas aproximando os perfis por uma lei de potência (Prandtl 1921).

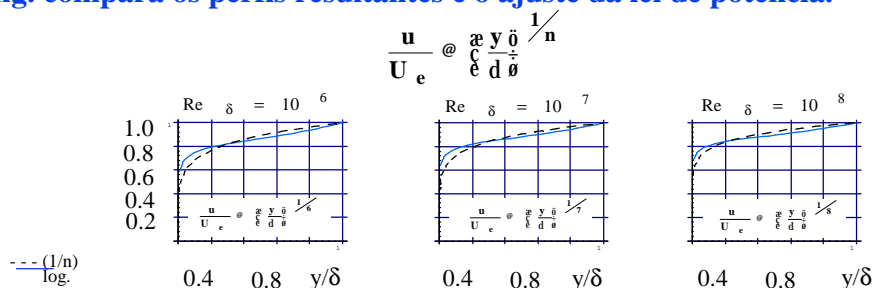
$$\frac{u}{U_e} \approx \left(\frac{y}{\delta} \right)^{1/n}$$

Análise Integral para Placa Plana- cont

- onde $d=d(x)$ é a espessura da camada limite que é uma função de x a ser determinada. A hipótese do ajuste de potência implica que os perfis de vel. são similares, isto é, todos eles coincidem em uma única curva u/U_e vs y/d

- Substituindo a relação de $C_f = 0.020 \text{Re}_d^{-1/6}$ na expressão $\log(u/U_e)$, obtêm-se o perfil de vel. exato em função de Re_d .

- A fig. compara os perfis resultantes e o ajuste da lei de potência.



- Observa-se que os ajustes apresentam uma dependência em Re , todavia a hipótese de que eles sejam similares ainda é razoável uma vez que a potência n não varia significativamente quando Re aumenta de uma ordem de grandeza!

Análise Integral para Placa Plana- cont.

Para perfis de potência, tem-se que:

- Em particular para $n=7$

$$\frac{d^*}{d} = \frac{1}{1+n} \quad \frac{q}{d} = \frac{n}{(1+n)(2+n)}$$

$$\theta = \frac{7}{72} \delta$$

- A substituição desta relação na eq. Integral, conduz a EDO:

$$0.020 \times Re_d^{-1/6} @ 2 \frac{d}{dx} \frac{7}{72} d \frac{\delta}{\theta} = \frac{7}{36} \frac{d Re_d}{d Re_x}$$

assumindo que $d=0$ para $x=0$ (camada limite turbulenta da origem), a solução fica sendo:

$$Re_d @ 0.16 \times Re_x^{-6/7} \quad \frac{d}{x} @ \frac{0.16}{Re_x^{1/7}} \quad C_f @ \frac{0.027}{Re_x^{1/7}}$$

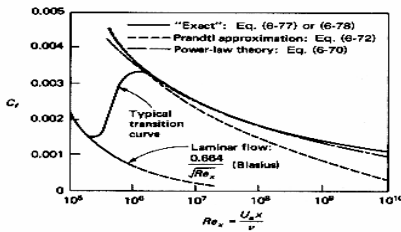
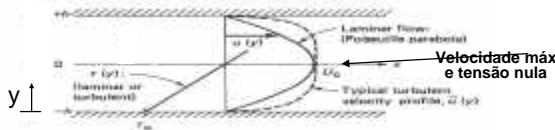


FIGURE 6-20 Local skin friction on a smooth flat plate for turbulent flow, showing several theories.

Canal Bi Dimensional Simétrico (I)



- A existência de simetria com a linha de centro do canal permite realizar um casamento das duas camadas que se desenvolvem junto a parede na linha de centro.

- A equação do momento se reduz ao balanço das forças de pressão e das tensões na parede:

$$\frac{dP}{dx} = \frac{d\tau}{dy} \rightarrow \tau \text{ deve variar linearmente e } \tau = \mu \frac{dU}{dy} - \overline{\rho u'v'}$$

- Devido a simetria, as tensões nas paredes são idênticas pode-se relacionar o gradiente de pressão com a tensão na parede:

$$\frac{\tau_w}{h} = \left(\frac{dP}{dx} \right) \quad \text{e} \quad \frac{\tau}{\tau_w} = 1 - \left(\frac{y}{h} \right)$$

- A distribuição de tensão é unicamente determinada porque a posição y onde τ é nulo, y_0 , coincide com o máximo no perfil de velocidade, y_m , isto é: $y_0 = y_m$

Canal Bi Dimensional Simétrico (II)

• Neste caso os perfis de velocidade que se desenvolvem em cada parede são idênticos e simétricos.

• Além disto, como a esteira é pequena e a sub-camada laminar tem espessura desprezível, o perfil de velocidades através de toda seção transversal do canal pode ser razoavelmente representado pela lei log:

$$u^+ = \frac{1}{\kappa} \ln(y^+) + B$$

• A velocidade média pode ser calculada por:

$$u_{\text{avg}} = \frac{1}{h} \int_0^h u dy \cong u^* \cdot \left(\frac{1}{\kappa} \ln(h^+) + B - \frac{1}{\kappa} \right)$$

Canal Bi Dimensional Simétrico (II)

• A velocidade média e o coeficiente de atrito:

$$\frac{u_{\text{avg}}}{u^*} = \sqrt{\frac{2}{C_f}}$$

• O Reynolds baseado no diâmetro hidráulico:

$$\text{Re}_{D_h} = \frac{u_{\text{avg}} D_h}{\nu} \quad D_h = \frac{4A}{P} = 2h$$

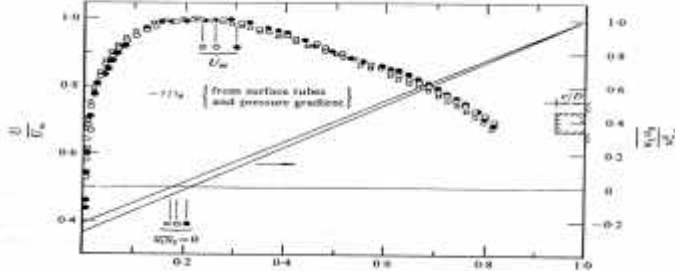
• Introduzindo estas expressões na vel. Média, chega-se a expressão para o coeficiente de atrito em função Reynolds.

$$\frac{1}{\sqrt{C_f}} = 1.22 \ln(\text{Re}_{D_h} \cdot \sqrt{C_f}) - 1.19$$

• Por meio da lei log foi possível analisar o escoamento em dutos e canais e calcular a velocidade média.

• Nenhuma equação diferencial foi resolvida e nenhuma ‘teoria física’ foi usada. A lei log é apenas um ajuste de dados e análise dimensional!

Canal Bifurcado Dimensional Assimétrico (I)



• Hanjalic and Launder, "Fully developed asymmetric flow in a plane channel, JFM, (51), 2, 1972

- Escoamento assimétrico desenvolvido num canal 2D formado por dois planos.
- A assimetria foi formada introduzindo-se uma rugosidade em uma parede enquanto que a outra foi mantida lisa.
- A razão entre as tensões da parede rugosa e lisa é aproximadamente de 4:1.
- Os planos de tensão zero e velocidade máxima não coincidem! Isto se deve a grande interação caracterizada pela difusão da tensão turbulenta e energia cinética da parede rugosa em direção a lisa.

Canal Bifurcado Dimensional Assimétrico (II)

- Na ausência de simetria do escoamento médio e da tensão com a linha de centro é necessário a introdução de uma condição explícita para casar o escoamento nas duas paredes do canal.
- Uma hipótese simplificadora consiste em tomar como coincidentes as posições de máx. velocidade e de tensão nula;
- Ela se justifica considerando o conhecimento preciso da forma com que a velocidade no núcleo varia ($y^+ > 200$) não influencia fortemente a vazão total, mas sim a tensão de cisalhamento na parede. Isto em conta pode-se concluir que $y_m = y_i$ não é crítico para determinação do fator de atrito.

Canal Bi Dimensional Assimétrico (III)

- A aproximação também se apóia no comentário que o único efeito do escoamento externo é determinar t_w .
- Hanjalic e Launder (1968) mostraram que próximo às paredes os perfís de velocidade seguiam as leis de parede:
- onde S e R referem-se a lisa e rugosa, 'e' a altura caract. da rugosidade. As coordenadas y^+_S e y^+_R tem a origem nas paredes lisa e rugosa respectivamente.

$$u^+_S = \frac{1}{\kappa} \ln(y^+_S) + 5.0 \quad u^+_R = \frac{1}{\kappa} \ln\left(\frac{y^+_R}{e^+}\right) + 8.5$$

Canal Bi Dimensional Assimétrico (IV)

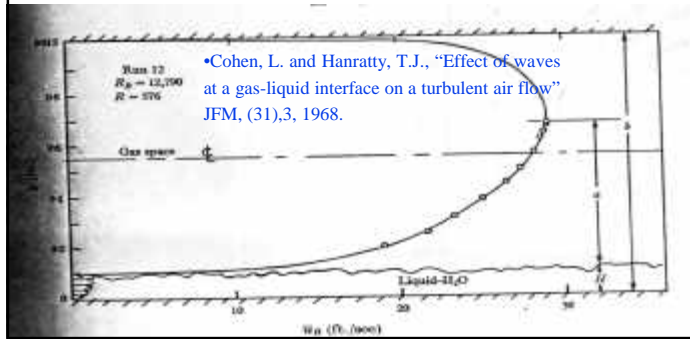
- O perfil de velocidade fica completamente determinado conhecendo-se o ponto de máxima velocidade.
- Se a rugosidade é conhecida a priori, a vazão total e o ponto de máximo (onde as velocidades das duas camadas logarítmicas se encontram) são determinados iterativamente.
- Caso a rugosidade da parede não seja conhecida não é possível determinar a vazão nem o ponto de máximo das velocidades.

Canal Bi Dimensional Assimétrico (V)

•Assumindo que são coincidentes a tensão zero com velocidade máxima, a tensão na parede pode ser determinada experimentalmente a partir do conhecimento do ponto de máximo do perfil e do gradiente de pressão:

$$-\frac{dP}{dx} \cong \frac{\tau_{WR}}{y_i} = \frac{\tau_{WS}}{(H - y_i)}$$

•De fato este argumento foi empregado por Cohem e Hanraty (1967) para determinar a tensão na interface água-ar de um escoamento estratificado.



$$-\frac{dP}{dx} \cong \frac{\tau_{WR}}{a}$$